

「パルス圧縮レーダの開発実績」

株式会社 光電製作所
www.koden-electronics.co.jp
三輪 勝二

動機

- マグネトロンの寿命
通常1万時間で、長寿命タイプで5年
汎用タイプでは1年で交換し、交換作業10万円程度
ユーザーは大きな負担
- マグネトロンから放射するスプリアス低減
電波天文観測で支障
隣接チャンネルの有効利用(電波は有限資源)
ITU-R勧告SM.1541では厳しい減衰量レベルを達成
することを要求

20070831

電波航法研究会

2

検討結果

- 方式検討
パルス、FM-CW、スペクトル拡散、パルス圧縮等
を検討し、パルス圧縮方式が有効と判断
- パルス圧縮方式でパルス1kW相等の性能
半導体送信部の出力は10W以下
パルス幅を従来のパルス方式より長くする
受信信号のコヒーレント累加
チャープ信号で距離分解能向上

20070831

電波航法研究会

3

スペクトル拡散

- 直接拡散 (DS : Direct Spread) の利用



図1 PN符号のイメージ

- 1シフト量(1チップ長)は距離分解能に相当し、
受信帯域は1チップ13.3nsecに対し
 $2/13.3E^{-9} = 150.3\text{MHz}$ (1)
となる。
N=1000では1エポック長が133 μsec となり、
S/N改善=10log1000=30dB (2)
が得られる。

20070831

電波航法研究会

4

パルス圧縮

- 距離分解能
距離分解能は周波数幅 $1/\Delta f$ に改善され、
 $\Delta f=80\text{MHz}$ のとき
分解能 $=12.5\text{nsec} (3.75\text{m}) / 2 = \text{約} 2\text{m}$ (3)
が得られる。
- S/Nの改善
せん頭値の振幅は $\sqrt{T} \times \sqrt{\Delta f}$ で表すことができ、パルス
レーダ $1\mu (1\text{MHz})$ と比較すると
 $T=10\mu$ 10倍、 $\Delta f=80\text{MHz}$ 80倍 から
 $S/N\text{改善} = \sqrt{80} \times \sqrt{10} = 20\log 28.3 = 29\text{dB}$ (4)
が得られる。

原理

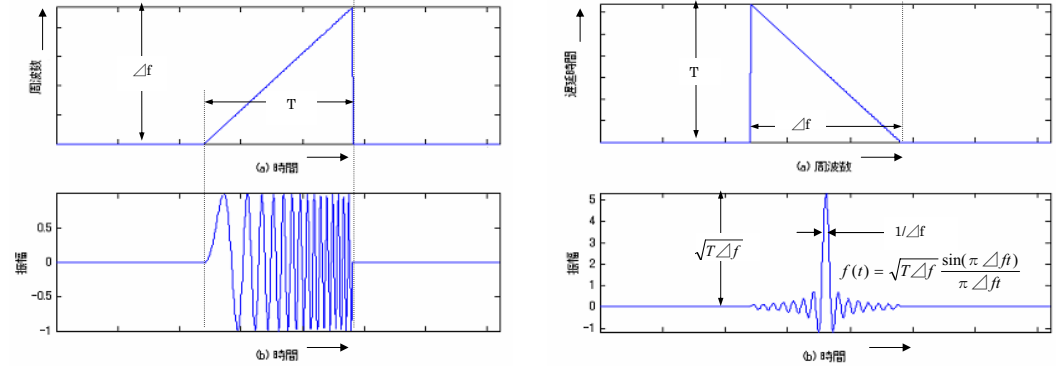


図2チャープ信号パルス圧縮方式説明図(伸長・拡散)

図3チャープ信号パルス圧縮方式説明図(圧縮・逆拡散)

処理アルゴリズムと回路

処理アルゴリズム

$$f(t) = \sum_{i=0}^N r(t+i\Delta t) \times s^*(i\Delta t) \dots (5)$$

*は共役複素数を示す

Δt : サンプル間隔

N : $T/\Delta t$

r(t) : 受信信号

s : 直線FMパルス

$$s(t) = \begin{cases} \exp(j\pi \frac{\Delta f}{T} t^2) & (0 \leq t \leq T) \\ 0 & (t < 0 \text{ または } t > T) \end{cases} \dots (6)$$

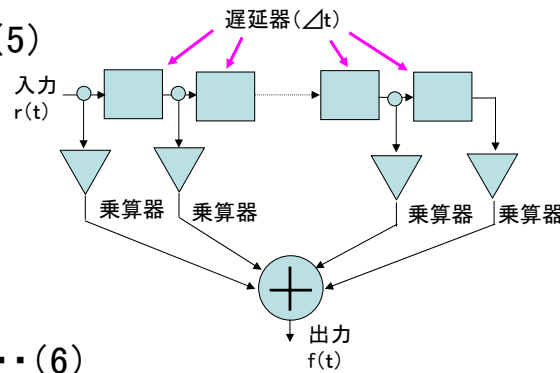


図4 パルス圧縮回路 (トランスバーサルフィルタ)

構成

中心周波数: 9375MHz
 $\Delta f=7.5\text{MHz}$
パルス幅: 3.2μ
送信電力: 4.7W

24dB 水平ビーム幅: 3.9度

14Bit
サンプリング周波数
18.75MHz

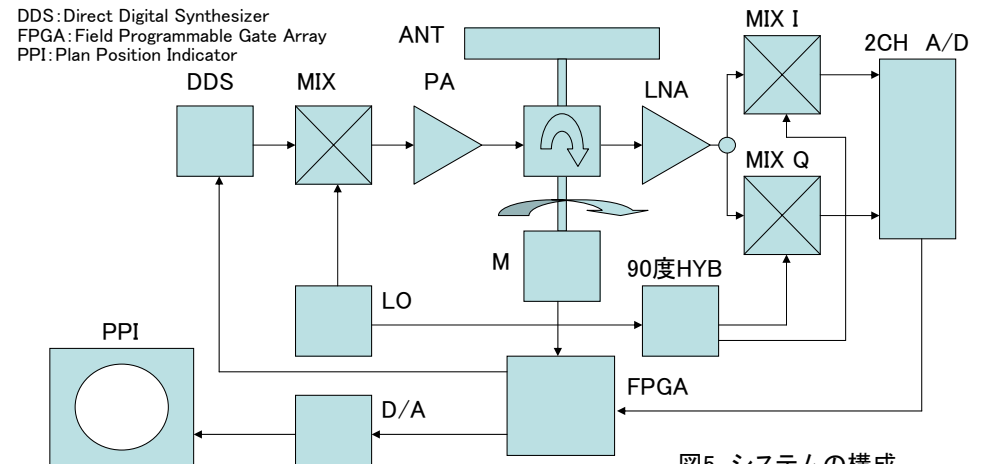


図5 システムの構成

トランスバーサルフィルタ出力

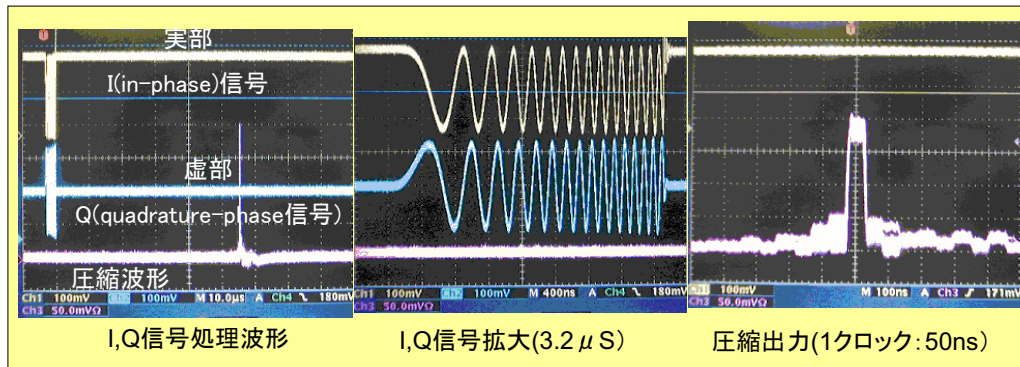


図6 トランスバーサルフィルタ入出力

半導体増幅器(PA)寸法図

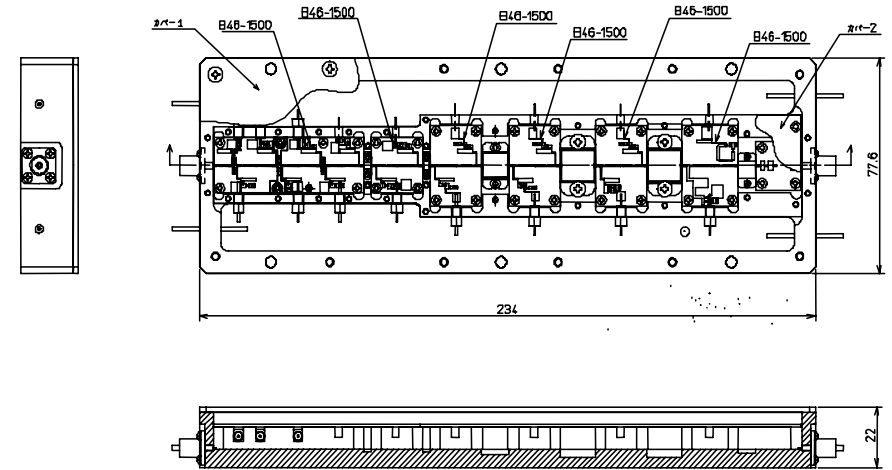


図7 PA寸法図

半導体増幅器(PA)配置図

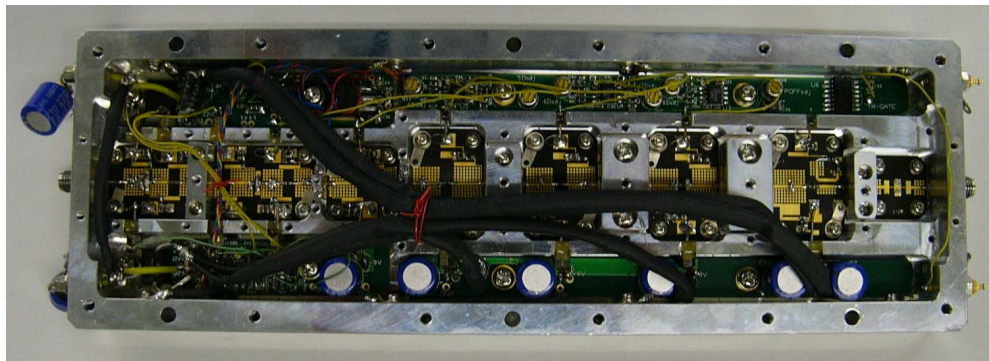


図8 PA配置図

送受信部の利得

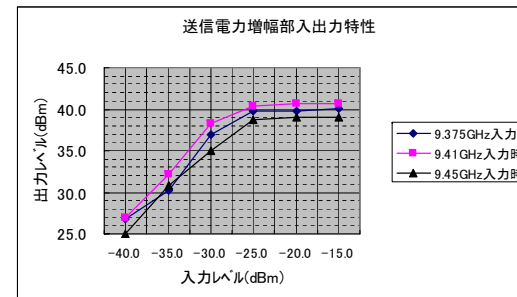


図9 PA部入出力特性

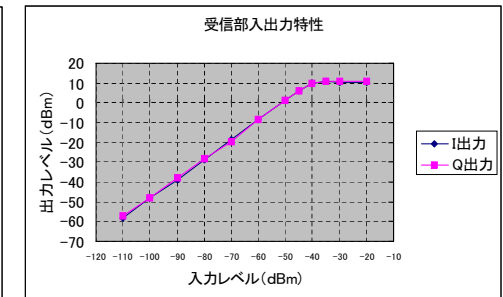


図10 受信部入出力特性

DDSの出力特性

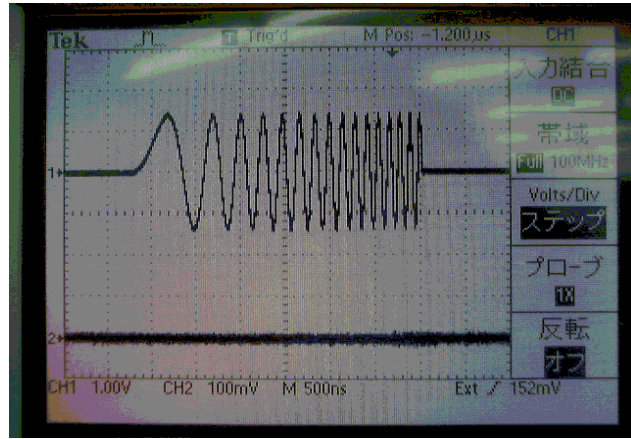


図11 チャープ信号

実験局の申請1

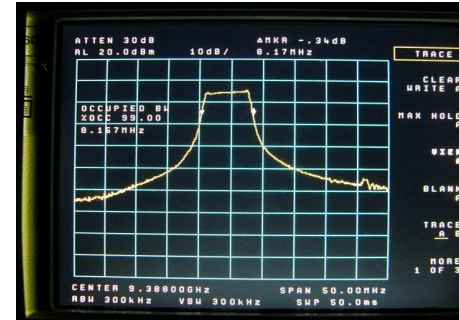


図12 占有帯域幅測定

1. 掃引幅: 7.5MHz、パルス幅: 3.2µ
占有帯域幅: 10.5MHz、PEAK電力: 4.73W
2. 掃引幅: 7.5MHz、パルス幅: 6.4µ
占有帯域幅: 8.92MHz、PEAK電力: 4.58W
3. 掃引幅: 7.5MHz、パルス幅: 12.8µ
占有帯域幅: 8.17MHz、PEAK電力: 4.46W



図13 PEAK電力測定

実験局の申請2

- コンピュータシミュレーション
掃引幅: 9.375MHz
パルス幅: 12.8µ
より
占有帯域幅: 9.92MHz
が得られた
掃引幅: 7.5MHzでの
占有帯域幅: 8.17MHz
の測定値に比例

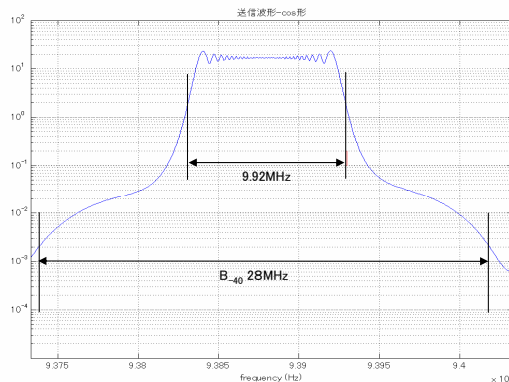


図14 シミュレーション結果

スプリアス規制

- ITU-R勧告SM.1541では40dBバンド幅の両端から20(40)dB/decade減衰曲線*が、基本波の最大値から43+10log(PEP)又は60(80)dBのいずれか小さい減衰量レベルと接する周波数とする。
* 20dB減衰曲線とは、40dBバンド幅の境界(中心から50%)から500%まで対数関数的に20dB減衰する曲線を言う。

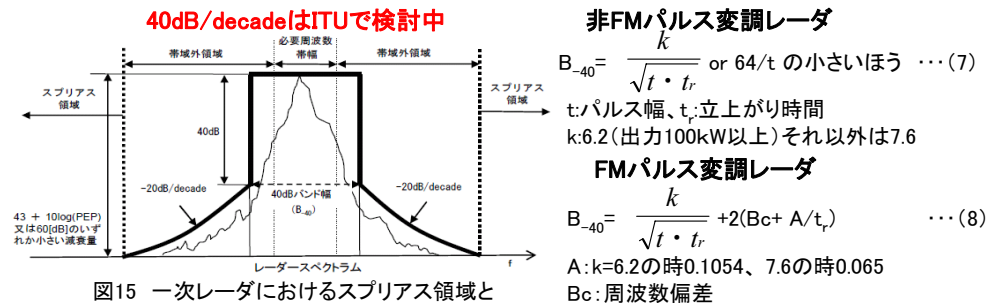


図15 一次レーダにおけるスプリアス領域と帯域外領域の境界

非FMパルス変調レーダ

$$B_{-40} = \frac{k}{\sqrt{t \cdot t_r}} \text{ or } 64/t \text{ の小さいほう} \dots (7)$$

t:パルス幅、 t_r :立上がり時間
k:6.2(出力100kW以上)それ以外は7.6

FMパルス変調レーダ

$$B_{-40} = \frac{k}{\sqrt{t \cdot t_r}} + 2(B_c + A/t_r) \dots (8)$$

A: k=6.2の時0.1054、7.6の時0.065
Bc:周波数偏差

フィールドでの測定1

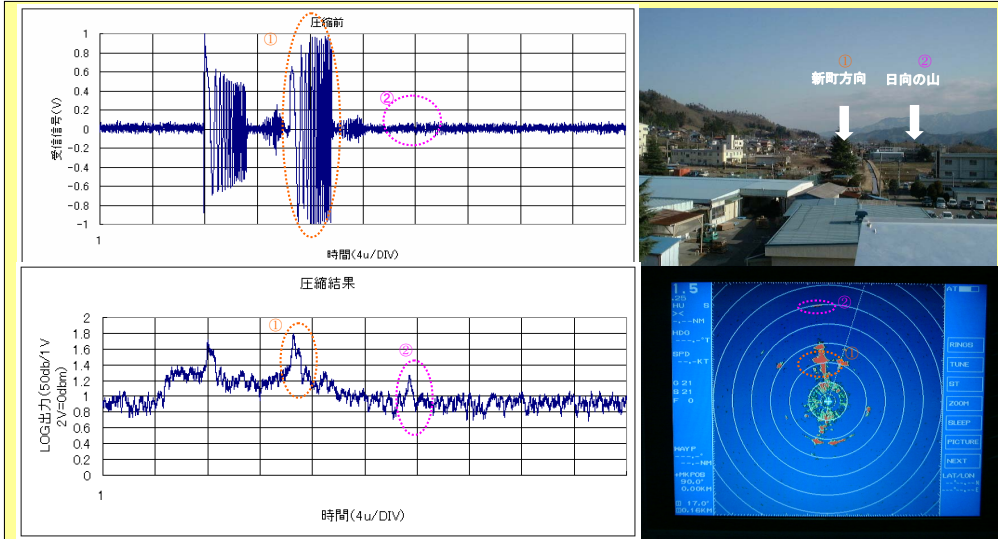


図16 拡散と逆拡散

フィールドでの測定2

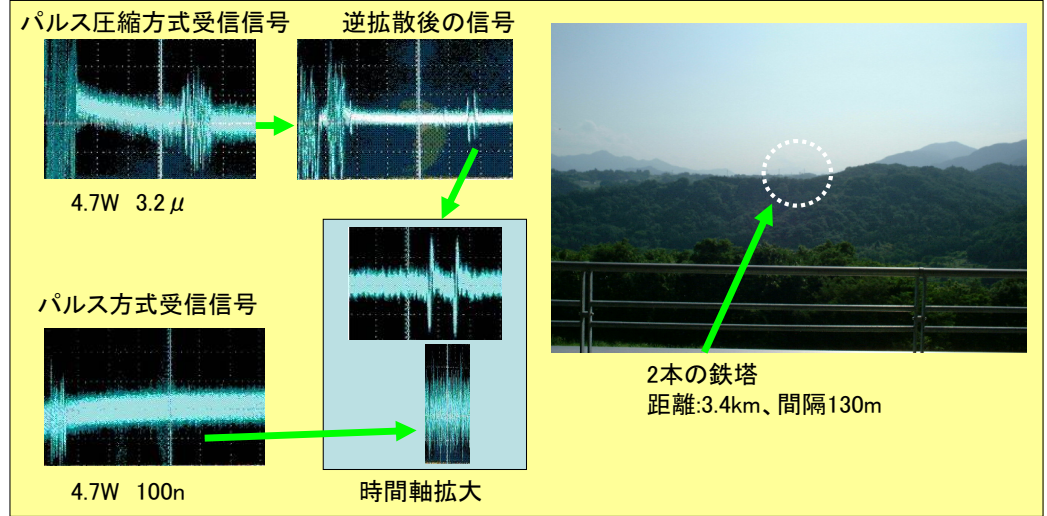


図17 パルス圧縮とパルス方式の受信信号比較

フィールドでの測定3

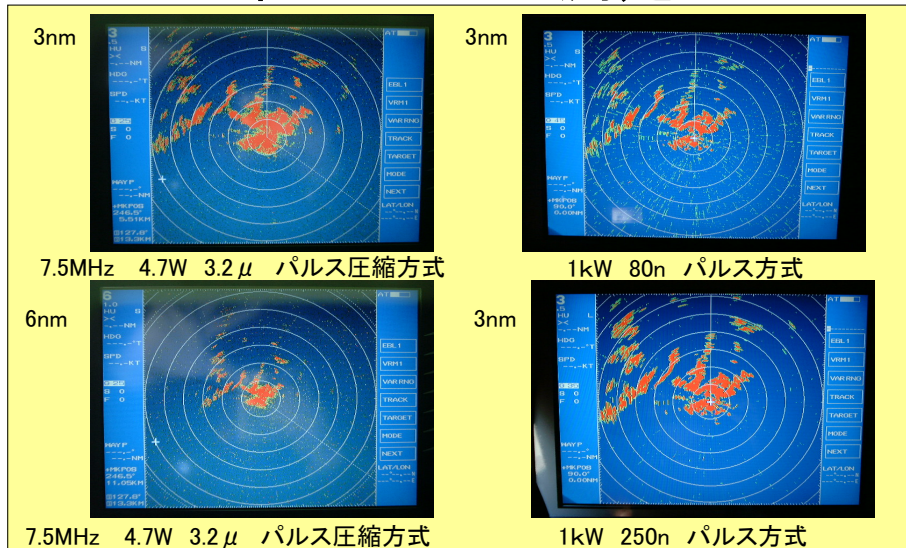


図18 パルス圧縮とパルス方式の最大探知距離

フィールドでの測定4

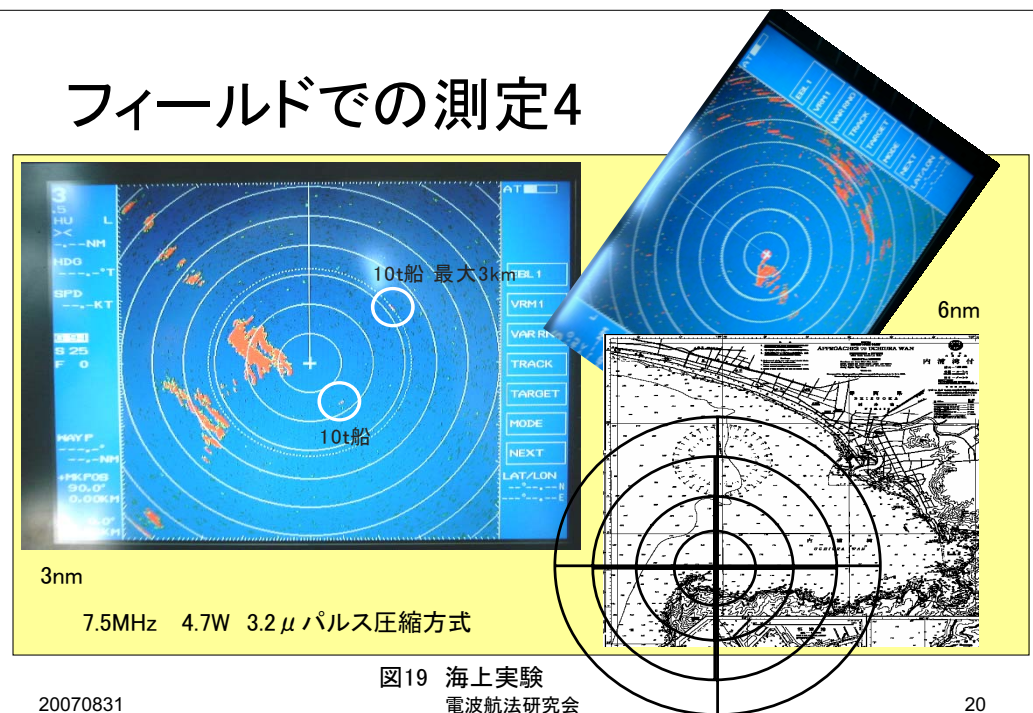


図19 海上実験

検討 周波数と差別化

- 周波数の検討
海上無線航行レーダとして認められている周波数割当
2.92~3.1、5.46~5.65、9.32~9.5、32.3~35.2GHzの4つの帯域
無線航行の用途割当(総務省と要調整)
24.25~25.25GHz、31.8~33.4GHzの2つの帯域
- 既存製品と差別化し購買意欲を高める
30GHz帯域の利用は9GHz帯と比べ同一アンテナ形状で利得が約5dBi向上し、3倍の方位分解能が得られる。

船舶用レーダの規定

- 設備規則48条及び郵政省告示第329号の技術的条件
周波数：3GHz帯、9GHz帯(9375、9410、9445MHz)、
32.3~35.2GHzの周波数、
5GHz帯(小型船舶への適用なし)
電波形式：**P0N**(**施行規則4条の2**)
注)P無変調パルス列、0変調信号無し、N無情報
占有周波数帯域幅(99.5%)：100MHz(3GHz)、
110MHz(9GHz)
スプリアス：40dB、60dB(2007年12月より実施)
偏波：水平(500t以上)

30GHz帯の詳細

表1 レーダ性能諸表

	探知能力	分解能	精度
30GHz	10度傾斜で7マイル 5000t船舶 距離2マイルで10m ² の浮標、距離25m で10m ² の浮標	方位角40分で等 距離にある2つの 目標を識別、同一 方向で8mを識別 (1.9キロレンジ以下)	距離レンジ値の1%以 内(1.4キロ未満は14m 以内) 1.4キロの物標の方位 を1度以内で測定
他	10度傾斜で7マイル 5,000t船舶 距離2マイルで10m ² の浮標、距離92m で10m ² の浮標	方位角3度で等距 離にある2つの目 標を識別、同一方 向で68mを識別 (最小距離レンジ)	距離レンジ値の6%以 内(0.75マイル未満は 82m以内) 0.75マイルの物標の方 位を2度以内で測定

検討 アンテナ

- アンテナ
半導体付加方式のアンテナは製作困難(大学で研究中)
現状はサーキュレータによる送受信の切替

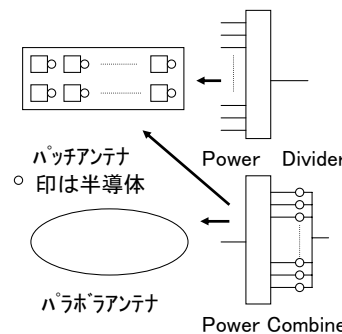


図20 送信

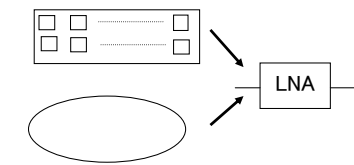


図21 受信

MSAアンテナの試作

- MSA(マイクロ・ストリップ・アンテナ)の構成と特性

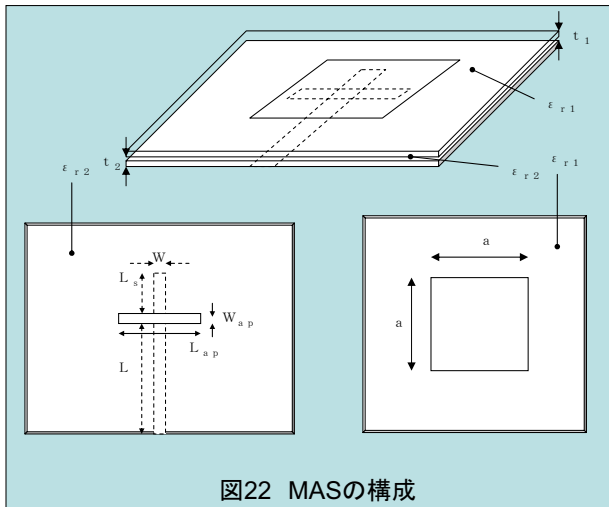


図22 MASの構成

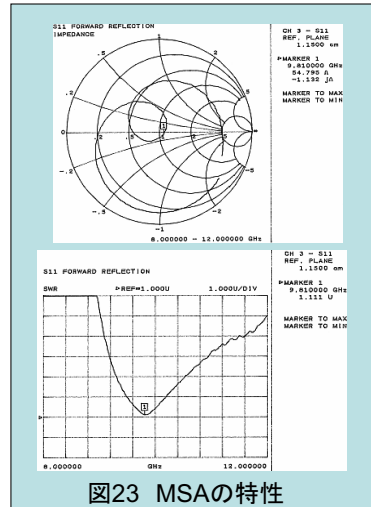


図23 MSAの特性

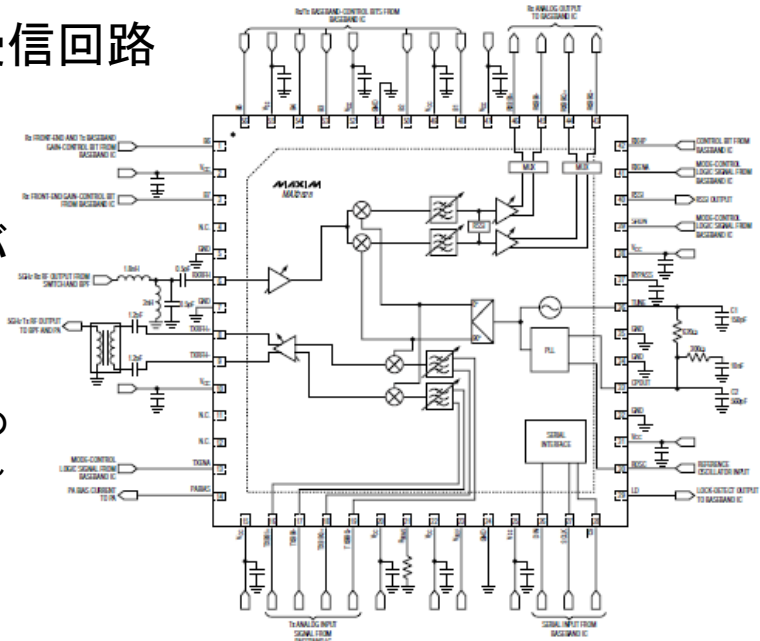
20070831

電波航法研究会

25

検討 送受信回路

- 最近のRFトランシーバ
- ワンチップで送受信回路を構成
- 無線LAN分野の技術を活用すれば...



電波航法研究会

図24 トランシーバ

26

シングル/デュアルバンド802.11a/b/g ワールドバンドトランシーバIC

- ◆ ワールドバンド動作
- MAX2828: 4.9GHz~5.875GHz(802.11a)
- MAX2829: 2.4GHz~2.5GHz及び4.9GHz~5.875GHz(802.11a/b/g)
- ◆ クラス最高のトランシーバ性能
- 54MbpsにおけるRx感度: -75dBm(802.11g)
- Tx側波帯抑制: -46dB(802.11g)/-51dB(802.11a)
- Tx EVM: 1.5%(802.11g)及び2%(802.11a)
- LO位相ノイズ: -100dBc/Hz(802.11g)/-95dBc/Hz(802.11a)
- プログラマブルベースバンドローパスフィルタ
- 3線式シリアルインターフェース付きPLLを内蔵
- レシーバの利得制御範囲: 93dB(802.11g)/97dB(802.11a)
- Rx I/Q DC設定時間: 200ns
- Rx RSSIのダイナミックレンジ: 60dB
- Txパワー制御範囲: 30dB
- Tx/Rx I/Qエラー検出
- Tx及びRxのI/Qアナログベースバンド
- インターフェース
- デジタルモード選択(Tx, Rx, スタンバイ、及びパワーダウン)
- シリアル及びパラレル利得制御の両方をサポート
- ◆ MIMOとスマートアンテナの互換性
- 複数のトランシーバ間でコヒーレントなLO位相
- ◆ 40MHzのチャンネル帯域幅をサポート(ターボモード)

20070831

電波航法研究会

27

A16-82100シングルボード 4ch Up/Down コンバータ

- A16-82100は、4系統の送受信回路を実装した6Uシングルスロット/CompactPCI準拠のスレーブボードです。
- 2.4GHz帯および5GHz帯の無線LAN周波数をカバーしています。
- A16-82100は、ベースバンドIQ信号をRF信号に、RF信号をベースバンドIQ信号に変換します。
- 送受信回路は、4系統一括で送信回路/受信回路に切り替わります。
- A16-82100は、内蔵の水晶発振器または外部リファレンス信号を基準に、4系統が同期して動作します。
- このため、MIMO通信やビームフォーミングを用いた送受信機に使用することができます。

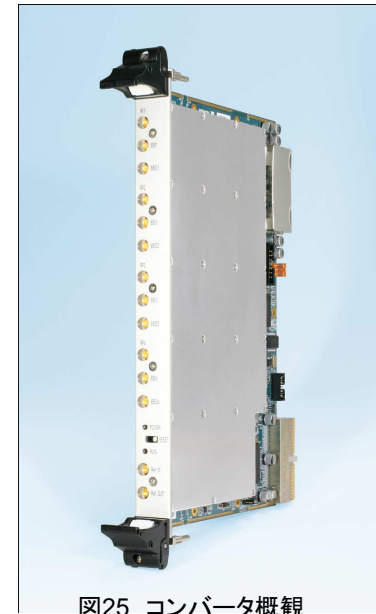


図25 コンバータ概観

20070831

電波航法研究会

28

特徴:ブロック図

- 6Uシングルサイズ
- トランシーバICにMAXIM社製MAX2829を4個搭載
- 4chの送受信系が同期して送信/受信動作
- 2.4GHz帯と5GHz帯のバンドパスフィルタを実装
- ボード内に基準用水晶発振器搭載
- CompactPCIインタフェースにPLX社製PCI9030を使用
- 制御用プロセッサの搭載による容易なユーザインタフェース

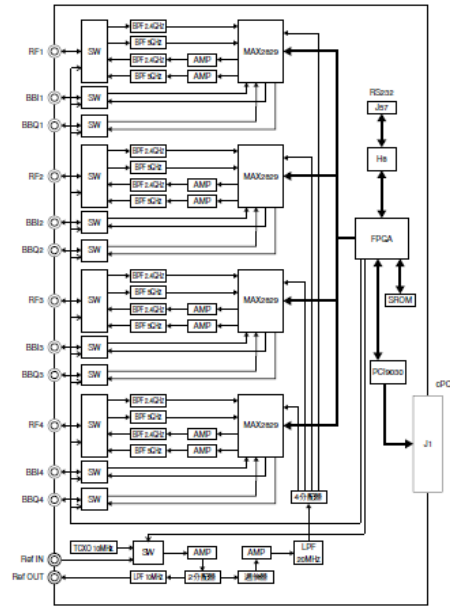


図26 ブロック図

20070831

電波航法研究会

29

項目:仕様

- RFチャンネル数:4チャンネル(4ポート)
- BB入力チャンネル数:4チャンネル(8ポート)
- BB出力チャンネル数:4チャンネル(8ポート)
- REF入出力:10MHz入力1ポート、10MHz出力1ポート
- RF周波数範囲:2.412GHz~2.500GHzおよび4.900GHz~5.350GHz、5.470GHz~5.875GHz
- 最大チャンネル帯域幅:40MHz
- ポートインピーダンス:50Ω 公称値
- 許容最大入力レベル:+10dBm(RF、BB)
- Rx利得範囲:0~+80dB
- Rx(Ga設定:40dB)雑音指数:15dB
- 出力P1dB:+12dBm
- 出力IP3:+24dBm、出力IP2:+41dBm
- Tx(Ga設定:0dB)基本利得:+11dB
- 出力P1dB:+14dBm
- 出力IP3:+27dBm、出力IP2:+69dBm
- チャンネル間相対位相:RFチャンネル間相対位相は任意の値
- チャンネル間相対位相安定度:RFチャンネル間相対位相の30分間における位相変化量は温度一定の条件において±5度以内
- チャンネル間振幅偏差:RFチャンネル間振幅偏差は±2dB以内
- チャンネル間振幅偏差安定度:RFチャンネル間振幅偏差の30分間における振幅変化量は温度一定の条件において±1dB以内
- 使用トランシーバIC:MAX2829(MAXIM)
- 使用CPCIインタフェースIC:PCI9030(PLX)
- 制御用マイクロプロセッサ:HD64F2329(ルネサス)、cPCIコネクタ(J1):17211102102(ハーティング)、フロントパネル同軸コネクタ:MMCX-R-EL(東光電子)、シリアル制御コネクタ(J57):IL-G-3P-S3T2-SA(JAE)
- 基板寸法(mm):233.358(高さ)×160.0(奥行き)×20.0(幅)

20070831

電波航法研究会

30

検討 信号処理 MUSICとFFTの比較1

MUSIC:Multiple Signal Classification
FFT:Fast Fourier Transform

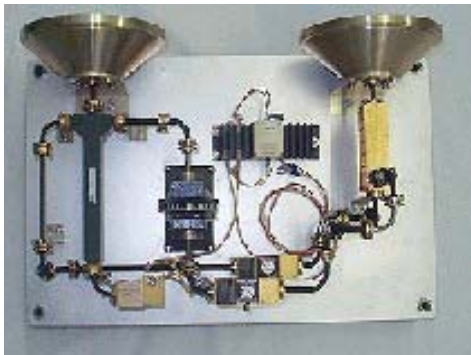


図27 ミリ波FM-CWレーダ試作機外観

20070831

電波航法研究会

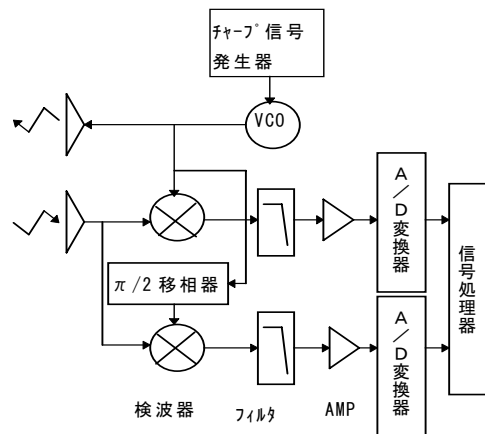


図28 ブロック図

31

信号処理 MUSICとFFTの比較2

- 時速30kmの車両処理
MUSICは相関行列の大きさを20×20、空間平均20回で処理
FFTは1024ポイントで処理
- 結果
三角波の周波数増区間と減区間の処理データを重ねて表示
MUSICは物標を鋭いピークで示し、FFTに比べ分解能、S/N比が良い

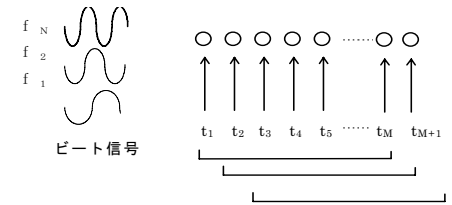


図29 観測モデル

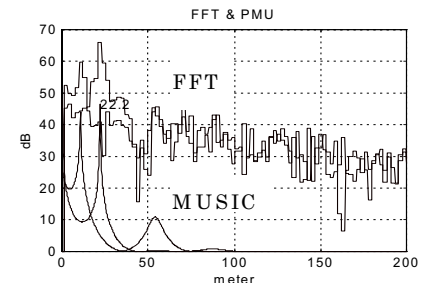


図30 実験結果

20070831

電波航法研究会

32

信号処理 MUSICとFFTの比較3

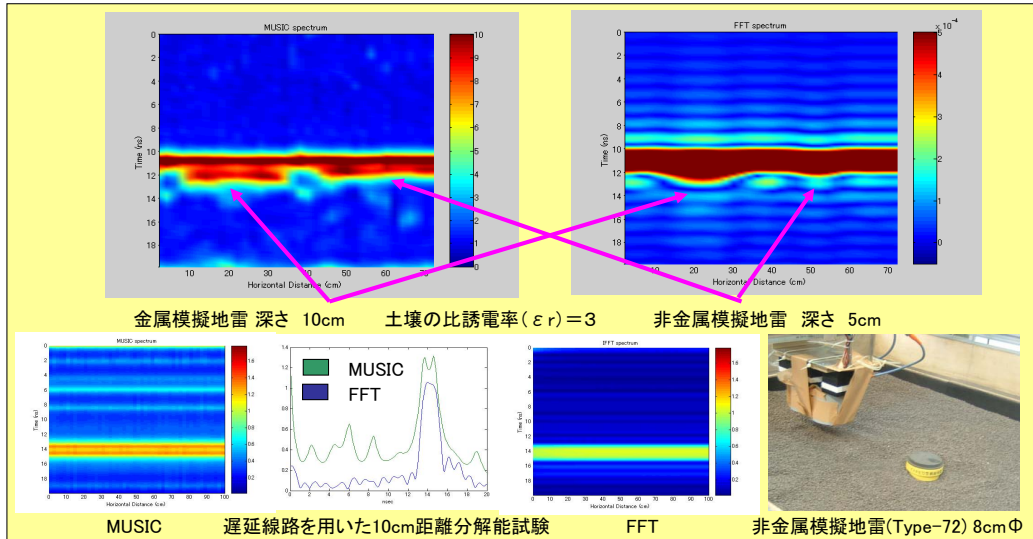


図31 MUSICとFFTの処理結果比較

20070831

電波航法研究会

33

まとめ1

- チャープ信号を利用したパルス圧縮レーダ
1940年代に考案され長い研究の歴史
文献調査では、リアルタイムデジタル信号処理パルス圧縮レーダのPPI映像は無い
本実験で取得した映像は大変貴重
- パルス圧縮方式のマグネトロンレスレーダ
マリンレーダとして近距離(3マイル程度)利用可
半導体化でマグネトロンの交換作業無し
マグネトロンレス:半導体(固体化)

20070831

電波航法研究会

34

まとめ2

- 送信部終段の半導体が高価
コストがクリアできれば実用化の可能性大
X Band 15W 1000個以上@約5万円
- 環境にやさしい電波
マグネトロンに比べ、スプリアス規制に制限されることなく、安定な回路が構築
- デジタル回路の活用
送信電力、分解能、感度が容易に設定可能

20070831

電波航法研究会

35

参考文献

- (1) 富沢 良行、荒井 郁男“遅延相関器を用いたチャープ信号パルス圧縮地中レーダ” 信学会(B) Vol.J83-B No.1 pp.113-120 2000年1月
- (2) 荒井 郁男“パルス圧縮装置ならびにその利用装置” 特開平5-1578
- (3) 日本無線“車載レーダ装置” 特許第3056579
- (4) 神力 正宣“レーダ技術の変遷” J.IEE Japan, Vol.120, No.10 pp.606-609
- (5) 情報通信審議会 情報通信技術分科会 スプリアス委員会“審議報告”
- (6) 荒井郁男 電気通信大学“MUSIC処理レーダ実験データ”
- (7) 上瀧 實 編集“ミリ波技術の手引と展開” REALIZE INC.
- (8) 「ミリ波技術の基礎と応用」編集委員会」監修・編集 “ミリ波技術の基礎と応用” REALIZE INC.
- (9) 吉田 孝 監修“改訂 レーダ技術” 電子情報通信学会
- (10) 三輪 勝二 他“ミリ波FM-CWLレーダへのMUSICの応用” IEEE VOL.1997, NO.Sogo Pt 2 PAGE.228
- (11) カタログ“MAX2828” MAXIM
- (12) 石曾根孝之 東洋大学“電磁結合型MSAの入カインピーダンス特性” 2001年3月
- (13) 三輪勝二“パルス圧縮レーダの開発” 日本航海学会 航法システム研究会 2006年5月

20070831

電波航法研究会

36